

# M<sub>2</sub>Ga<sub>6</sub>Te<sub>10</sub> مطالعات پرتو ایکس.

مصطفی دهقانی مبارکه\*

تهران، پژوهشگاه صنعت نفت، جاده قدیم قم، سه راه خیرآباد، صندوق پستی ۱۶۳-۴۱۷۴۵

**چکیده:** فازهای  $M_2Ga_6Te_{10}$ . ( $M: Li, Na$ ) به طور مستقیم از واکنش عنصرها به شکل تک بلور و ریز بلور سیاه رنگ و هموزن به دست آمدند. طبق آزمایش‌های تعیین ساختار بلوری، هر دو ترکیب در گروه فضایی  $R\bar{3}2$  (شماره ۱۵۵) و  $Z = 2$ ،  $a = 1436.9$  pm،  $c = 1759.0$  pm (۱)،  $c = 1776.1$  pm (۲) برای  $Mn$  در  $K = 290$  K و  $T = 180$  K،  $a = 1485.0$  pm (۱)،  $c = 1776.1$  pm (۲) برای  $Li_2Ga_6Te_{10}$ . مشابه ترتیب اتم‌های ساختار آنها انباسته چهاروجهی (tetrahedral close packing) از یون‌های  $Te^{4-}$  (tetrahedral holes) پراکنده شده‌اند، یون‌های  $Ga^{3+}$  به طور منظم در ۱۲ درصد از حفره‌های چهاروجهی (metaprisms) پراکنده شده‌اند، یون‌های  $M^{+}$  تمامی حفره شبه منشور (متاپریسم‌ها، metaprisms) را اشغال می‌کنند. یون‌های بسیار کوچک  $Li^{+}$  مکان‌های خارج از مرکز (off-center) در متاپریسم‌ها را اشغال می‌کنند. مکان‌های بهشدت خارج از مرکز (strongest off-centering) فقط بر اساس یک مدل شکافت (split model) قابل بررسی هستند.

**واژه‌های کلیدی:** تلوار، بتا - منگنز، روبيديم، نقره، گاليم، پرتو  $X$ ، متاپریسم، حفره‌های چهاروجهی، ساختار بلوری.

**KEY WORDS:** Tellurium,  $\beta$ -Mn, Rubidium, Silver, Gallium, X-ray, Metaprismatic, tcp, Crystal structure.

## مقدمه

هستند ولی ساختار بلوری بیچیده‌ای دارند. کاتیون عنصرهای متفاوت (مانند:  $Ag^+$ ,  $Rb^+$ ,  $Sn^+$ ,  $Pb^+$ ,  $Ga^+$ ,  $In^+$ ,  $Al^+$ ) در حفره‌های شبه منشور (متاپریسم‌ها) جاگرفته‌اند و در نتیجه شبکه سه بعدی منظمی از چند وجهی‌های پر و توخالی به وجود آورده‌اند که می‌بایستی بستر بسیار خوبی برای تحرك فوق العاده خوب کاتیون‌های داخل شبکه، باشند. به طور فرضی می‌توان شبکه را به دو بخش آبیونی و کاتیونی تقسیم کرد. بخش آبیونی متشکل از  $(M_2X_{10})^-$  با  $Y: I^-$ ,  $Br^-$ ,  $N: Ag^+$ ,  $Cu^+$ ,  $Se^{2-}$ ,  $In^{3+}$ ,  $X: Te^{2-}$ ,  $Ga^{3+}$ ,  $Al^{3+}$  با  $M: Na_2In_6Te_{10}$  و  $M: Li_2In_6Te_{10}$  تشکیل می‌دهند [۱-۴]. این انباسته‌ها مشابه ترتیب اتم‌های  $Mn$  در بتا - منگنز بوده و نبایستی با انباسته‌های کلاسیک مکعبی (ccp) یا هگزاگونالی (hcp) استباشد گرفته شوند. به خاطر انباسته‌های چهاروجهی (tcp)، فازهای بتا - منگنز پر شده هر چند دارای فرمول شیمیایی به‌ظاهر ساده

فازهای بتا - منگنز پر شده با غیر فلزها که به صورت ترکیب‌های شیمیایی ( $M: Li, Na$ ). MGa<sub>6</sub>Te<sub>10</sub> در سال‌های اخیر بررسی شده‌اند [۱] و [۲] و دیگر فازهایی مانند  $K_2In_6Te_{10}$  و  $Na_2In_6Te_{10}$  و  $Te^{4-}$  (۱) را می‌سازند که در آنها  $Te^{4-}$  و  $Sn^{3+}$  یک انباسته چهاروجهی (۲) tcp را تشکیل می‌دهند [۷-۹]. این انباسته‌ها مشابه ترتیب اتم‌های  $Mn$  در بتا - منگنز بوده و نبایستی با انباسته‌های کلاسیک مکعبی (ccp) یا هگزاگونالی (hcp) استباشد گرفته شوند. به خاطر انباسته‌های چهاروجهی (tcp)، فازهای بتا - منگنز پر شده هر چند دارای فرمول شیمیایی به‌ظاهر ساده

\*عهده‌دار مکاتبات

+E-mail: modeg128@yahoo.de

(۱) Ternary solids

(۲) Tetrahedral close packings

ندارند. تک بلورهایی که برای گرداوری داده‌ها مناسب بودند روى پراش سنج چهار محوره<sup>(۱)</sup> به وسیله‌ی روغن مناسبی در لوله‌ی های موین پرتو X ثابت شده و در K ۱۸۰ اندازه گیری شدند(جدول ۱). اندازه‌گیری‌های DSC روی Li<sub>۲</sub>Ga<sub>۶</sub>Te<sub>۱</sub> دو تعییر فاز در ۲۱۳ K و K ۸۵۰ را نشان می‌دهند. تعیین ساختار بلوری با برنامه NRCVAX refinement program ساختار از جدول‌های بین‌المللی بلورشناسی گرفته شدند [۱۵].

## نتایج و بحث

جدول‌های ۱ تا ۳ داده‌های پرتو X و پارامترهای ساختاری برای Li<sub>۲</sub>Ga<sub>۶</sub>Te<sub>۱</sub> در دمای K ۱۸۰ را نشان می‌دهند. مجموعه‌ای از طول پیوندها و زاویه‌های پیوندی مهم برای Li<sub>۲</sub>Ga<sub>۶</sub>Te<sub>۱</sub> در جدول ۴ نشان داده شده‌اند.

ساختار بلوری Li<sub>۲</sub>Ga<sub>۶</sub>Te<sub>۱</sub> بر مبنای ساختار  $\beta$ -Mn بوده و مشابه یک انباسته اوتکتیکی<sup>(۵)</sup> [۱۰] متشکل از ۲۰ اتم Te<sup>۲-</sup> در یک سلول شبه - مکعب است که در آن ۱۲ درصد از حفره‌های چهاروجهی به وسیله‌ی Ga<sup>۳+</sup> اشغال شده و Li<sup>+</sup>/Na<sup>+</sup> در همه حفره‌های متاپریسم قرار گرفته‌اند. سلول واحد در شبه - مکعب Z = ۲ برای M<sub>۲</sub>Ga<sub>۶</sub>Te<sub>۱</sub> (M<sub>۲</sub> = ۱۰۰) حفره چهاروجهی و ۴ حفره متاپریسم است [۴].

فرض اولیه که ممکن باشد Li<sup>+</sup> در Li<sub>۲</sub>Ga<sub>۶</sub>Te<sub>۱</sub> و Na<sup>+</sup> در Na<sub>۲</sub>Ga<sub>۶</sub>Te<sub>۱</sub> بخشی از حفره‌های چهاروجهی را بدون نظم و پیژه و بهروش اتفاقی اشغال کنند (مشابه یون‌های پر متحرک Ag<sup>+</sup> در رسانای یونی  $\alpha$ -RbAg<sub>4</sub>I<sub>5</sub>)، تأیید نشد و یون‌های Rb<sup>+</sup>/Na<sup>+</sup> مکان‌هایی را که مربوط به یون‌های غیر متحرک در  $\alpha$ -RbAg<sub>4</sub>I<sub>5</sub> هستند اشغال کردند. مقایسه Li<sub>۲</sub>Ga<sub>۶</sub>Te<sub>۱</sub> و Na<sub>۲</sub>Ga<sub>۶</sub>Te<sub>۱</sub> با  $\alpha$ -RbAg<sub>4</sub>I<sub>5</sub> به دلیل این که ساختار بلوری آنها بر مبنای ساختار  $\beta$ -Mn می‌باشد، مهم است. در  $\alpha$ -RbAg<sub>4</sub>I<sub>5</sub> ۲۰ یون I<sup>-</sup> در یک سلول شبه - مکعب یک انباسته چهاروجهی را تشکیل می‌دهند و یون‌های Ag<sup>+</sup> ۱۶ درصد از حفره‌های چهاروجهی را بدون نظم و پیژه ای اشغال می‌کنند، در حالی که Rb<sup>+</sup> تمامی حفره‌های متاپریسم را اشغال می‌کنند. به خاطر نظم موجود در پخش  $\beta$ -Mn در ماتریس اوتکتیکی P<sub>۴</sub><sub>۳</sub><sub>۲</sub> و P<sub>۴</sub><sub>۳</sub><sub>۲</sub> (β-Mn) به R<sub>۳</sub><sub>۲</sub> کاهش تقارن از گروه فضایی  $P\bar{4}3m$  به  $P\bar{4}3m$  (β-Mn) می‌افتد که در مرجع‌های [۱] و [۲] جزئیات کامل آن توضیح اتفاق می‌افتد.

(۱) "Isolated" metaprismatic holes

(۲) Superstructures

(۳) Pyrolysis

جاسازی در حفره‌های متاپریسمی منفرد<sup>(۱)</sup> در شبکه است. تنوع در نظم و ترکیب شیمیایی، کاهش تقارن و یا سوبر ساختارها<sup>(۲)</sup> را به همراه دارد که مترادف با نوع و چینش عصرهای به کار رفته در آن ترکیب است. ساختار هر یک از اعضای خانواده بتا - منگنز می‌تواند از نوع شاخص آنها یعنی بتا - منگنز مشتق شده باشد، به همان‌گونه که اسپینل‌ها از نظم ccp، مشتق می‌شوند. سیستمی شامل چند وجهی‌های X<sub>n</sub> یا Y<sub>n</sub> با عدد کوئوردیناسیون بالا ( $>12$ ) نیز می‌تواند بیانگر بتا - منگنز باشد. هر چند که این حالت برای پرکننده‌های فلزی (نه نافلزی) متدائل است [۳-۶].

اصول ساختاری فازهای پر شده بتا - منگنز که تاکنون شناخته شده‌اند، سنتز مواد جدید با همان ساختار را دور از انتظار نمی‌گذارند. مثال‌هایی از این قبیل هستند که در آن یون‌های (Li, Na) M<sup>+</sup> تهبا بخشی بلکه تمامی حفره‌های متاپریسم را اشغال کرده‌اند. α-RbAg<sub>4</sub>I<sub>5</sub> [۹-۷] که شاید معروف‌ترین عضو گروه فازهای پر شده بتا - منگنز است، انگیزه سنتز فازهای مشابه با وجود یون‌های Li<sup>+</sup> و Diگر فلزهای قیایی به جای یون‌های متحرک نقره را به وجود آورد. در مقایسه با α-RbAg<sub>4</sub>I<sub>5</sub> ، فازهای بتا - منگنز پر شده که در آنها یون‌های Te<sup>۲-</sup> (Se<sup>-</sup>) به جای I<sup>-</sup> نشسته‌اند، به طور عمومی از نظر شیمیایی غیرفعال بوده و در مجاورت هوا تعییر نمی‌کنند (به استثنای فازهای محتوی Al).

## بخش تجربی

### سنتز

نقطه ذوب: K ۱۰۵۰ (نقطه ذوب: Li<sub>۲</sub>Ga<sub>۶</sub>Te<sub>۱</sub>). ذوب: ۱۰۳۸K (به طور مستقیم از عصرهای آنها و در سرنگ‌هایی از جنس کوارتز و تحت خلاء تهیه شدند [۱] و [۲]. به منظور پیشگیری از کاهش SiO<sub>۲</sub> موجود در دیواره سرنگ، سطح داخلی سرنگ به روش تجزیه حرارتی<sup>(۳)</sup> بخار استون، به وسیله‌ی لایه نازکی از کربن پوشانده شد. سرنگ محتوی مخلوط عصرها در ابتدا تا ۱۲۰۰ حرارت داده شد و سپس به مدت ۳ هفتۀ در ۱۰۰۰ نگهداری شد.

سیاه رنگ بوده که در دمای محیط نسبت به هوا حساسیت زیادی

(۴) Four circle diffractometer

(۵) Like "eutactic" packing

شبکه متشکل از ۱۲ درصد چهاروجهی‌های پر و ۸۸ درصد چهاروجهی‌های خالی به‌گونه‌ای با شبکه متاپریسم‌های MTe<sub>4</sub> تداخل پیدا می‌کنند که چهاروجهی‌های GaTe<sub>4</sub> هرگز وجه یا ضلعی مشترک با متاپریسم‌های MTe<sub>4</sub> تشکیل نداده و فقط دارای رأس مشترک با آنها هستند. چهاروجهی‌های خالی با متاپریسم‌ها ضلع مشترک تشکیل می‌دهند.

اشتراك رأس و ضلع بین چهاروجهی‌های GaTe<sub>4</sub> و اشتراك ضلع و وجه بین چهاروجهی‌های اشغال و خالی (وجه مشترک بین چهاروجهی‌های اشغال شده به وجود نمی‌آید) رخ می‌دهد. قسمت به نمایش گذاشته شده در شکل ۱ نمونه شاخصی از اشتراك رأس و ضلع بین چهاروجهی‌های GaTe<sub>4</sub> و اشتراك رأس بین چهاروجهی‌های GaTe<sub>4</sub> و متاپریسم‌های MTe<sub>4</sub> را نشان می‌دهد.

هر چند اشغال حفره‌های چهاروجهی در ماتریسی از Te با ساختار اوتکتیکی  $\beta\text{-Mn}$ ، به‌وسیله‌ی اتم‌های Ga انتظار می‌رفت اما در ابتدا مشخص نبود که کدام نوع از حفره‌ها (چهار وجهی یا متاپریسم) به‌وسیله‌ی یون‌های M<sup>+</sup> ترجیع داده می‌شوند. در این مقاله به‌وضوح نشان داده شد که کاتیون‌های فلزهای قلیایی فقط حفره‌های متاپریسم را اشغال می‌کنند و هرگز حفره‌های چهاروجهی را در هر دو ترکیب M<sub>2</sub>Ga<sub>x</sub>Te<sub>1-x</sub> اشغال نمی‌کنند.

برخلاف Li در Li<sub>2</sub>Ga<sub>x</sub>Te<sub>1-x</sub>، اتم‌های Na در Na<sub>2</sub>Ga<sub>x</sub>Te<sub>1-x</sub> در مکان‌های خارج از مرکز قرار نگرفته‌اند و فاصله بین اتم مشاهده شده  $d_{Na-Te} < 329 \text{ pm}$  با مقدارهای

موردنظر مطابقت دارد.

داده‌های پرتو X به‌دست آمده برای دمای اتاق و دمای پایین (جدول ۲)، Li(A) را در اشغال یک مکان شکافت (مکان ۶c به‌جای ۳b در R<sup>32</sup>، آرایش هگزاگونال) و Li(B) در مکان اندکی خارج از مرکز متاپریسم نشان می‌دهد (شکل ۲).

فاصله‌ی متوسط مرکز حفره‌های متاپریسم تا یون‌های Te<sup>3-</sup> مجاور  $324 \text{ pm}$  برای Li(A) و  $317 \text{ pm}$  برای Li(B) است. مقایسه با فاصله مورد انتظار  $297 \text{ pm}$  برای عدد کوئوردیناسیون ۶ [۱۳]،  $r(Te^{3-}) = 221 \text{ pm}$ ، برای CN<sub>6</sub><sup>-</sup>، برای  $r(Li^+) = 76 \text{ pm}$  به‌وضوح نشان می‌دهد که Li<sup>+</sup> برای آن حفره‌ها خیلی کوچک است. این شرایط قرار گرفتن Li(A) در موقعیتی به شدت خارج از مرکز<sup>(۲)</sup> را تقویت می‌کند. افزون برین می‌تواند تفاوت فاحش فاصله‌ها تا لایه دوم اتم‌های کوئوردیناسی (d<sub>Li-Ga</sub>) برای Li(A) و Li(B) نقش مهمی را بازی کنند.

داده شده است. این کاهش تقارن یک مجموعه متشکل از ۶ مکان غیر وابسته به تقارن برای مراکز حفره‌های چهاروجهی در گروه فضایی (P<sub>4332</sub>) را به دسته‌های متشکل از ۱۵ عدد شش محوره، ۲ عدد سه محوره و ۲ عدد دو محوره در R<sup>32</sup> می‌شکند (توضیح اینکه با کنار هم قرار دادن ۳ واحد رومبودرال حول محور اصلی، یک سلول با آرایش هگزاگونال به‌دست می‌آید). تنها ۲ مکان شش محوره از آنها (Ga<sub>1</sub> و Ga<sub>2</sub>) مطابق با حفره‌های T<sub>۱۰</sub> و T<sub>۵۱</sub> [۱] و [۲] به‌وسیله‌ی Ga<sup>3+</sup> اشغال می‌شوند. همزمان با آن مکان چهار محوره که مشخص کننده مرکز متاپریسم‌های است به یک مکان یک محوره و یک مکان سه محوره شکسته شده و هر دو مکان به‌طور کامل به‌وسیله‌ی

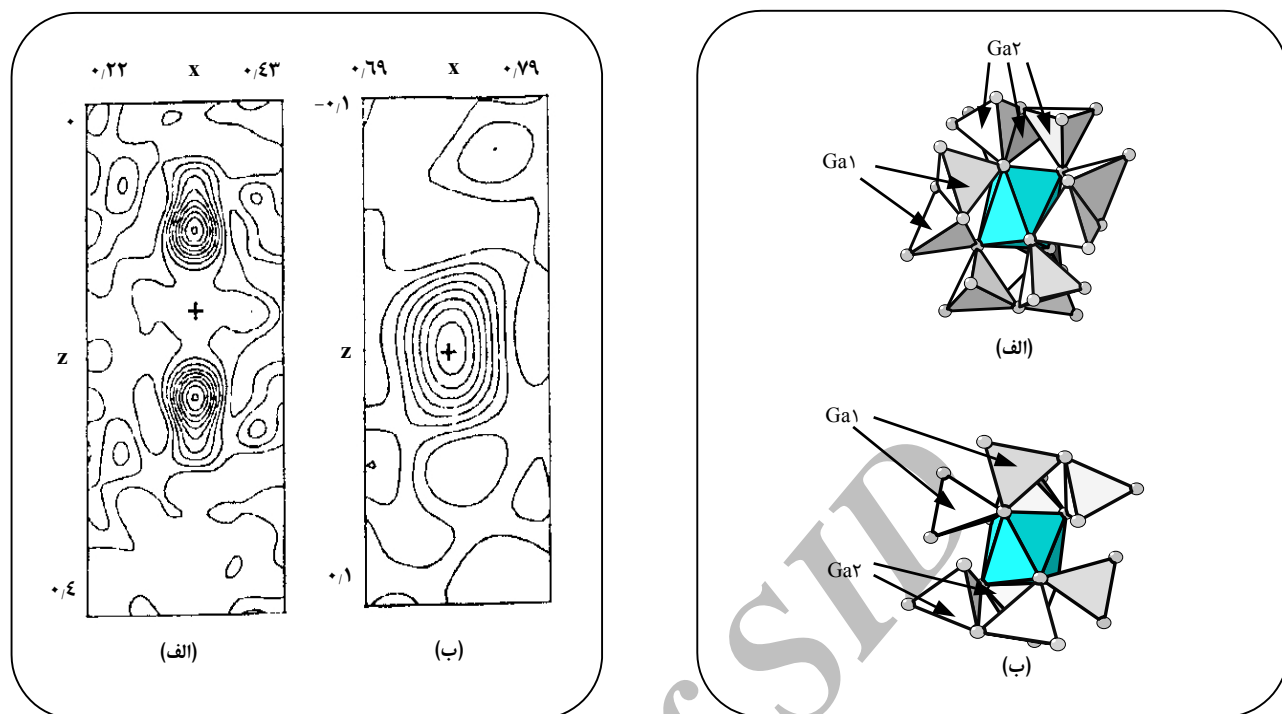
(Li/Na(B) و Li/Na(A)) اشغال می‌شوند. این نظم مشاهده شده و فاصله‌های بین اتمی d<sub>Ga-Te</sub>  $< 265 \text{ pm}$   $< d_{Ga-Te} < 258 \text{ pm}$  (جدول ۳) برای Ga<sup>3+</sup> در حفره‌های چهاروجهی در همان حدود [۱۱]، Ga<sub>2</sub>Te<sub>1-x</sub>، [۱]، Ag<sub>2</sub>Ga<sub>x</sub>Te<sub>1-x</sub> و AGa<sub>x</sub>Te<sub>1-x</sub> (A: Sn, Pb) است. به‌مرحله این نظم یافته شده برای Ga<sup>3+</sup> با آنچه که در [۲] Na<sub>2</sub>Ga<sub>x</sub>Se<sub>1-x</sub> است، متفاوت است. انحراف قابل توجه از زاویه‌های چهاروجهی Na<sub>2</sub>Ga<sub>x</sub>Te<sub>1-x</sub> و Li<sub>2</sub>Ga<sub>x</sub>Te<sub>1-x</sub> در  $96.5^\circ < Te-Ga-Te < 120^\circ$  دیده می‌شوند، نه تنها برای فازهای پر شده  $\beta\text{-Mn}$  بلکه برای ساختارهای مشتق شده از انباسته چهاروجهی به‌طور عام، شاخص است [۶-۳].

به‌خاطر پیچیدگی آرایش Te<sup>3-</sup> در فاز  $\beta\text{-Mn}$ ، برای شبکه سه بعدی حاصل از اتصال چهار وجهی‌های GaTe<sub>4</sub> و متاپریسم‌های Li/NaTe<sub>4</sub>، نمی‌توان مدل ساده‌ای ارایه کرد. احاطه اتم‌های Li/Na(B) و Li/Na(A) از Te<sub>4</sub> و Te<sub>۳</sub>، Te<sub>۲</sub> و Te<sub>۱</sub> به شکل متاپریسم، به‌وسیله‌ی انواع M اتم‌های Te به‌شکل متفاوت است. این اتم‌های Te می‌گیرد، در حالی که Te<sub>۱</sub> و Te<sub>۲</sub> در کوئوردیناسیون متفاوت‌سازی اتم‌های M به‌طور مستقیم با آن در تماس نیستند. ساختار جزیی (Li/Na(A,B) و Li/Na<sub>2</sub>Te<sub>1-x</sub>) یک شبکه سه بعدی از متاپریسم‌های MTe<sub>4/2</sub> (MTe<sub>۳</sub>) با گوششی مشترک و با ترکیب اسمی MTe<sub>۳</sub> را تشکیل می‌دهند که می‌توانند یک نوع به‌شدت تغییر شکل یافته ReO<sub>۳</sub> در نظر گرفته شوند.

از طرف دیگر اتم‌های Ga در مرکز چهاروجهی‌های تغییر یافته<sup>(۱)</sup> که به‌وسیله‌ی ۴، ۳، ۲ و ۱ Te<sub>۱</sub>، Te<sub>۲</sub> و Te<sub>۳</sub> ساخته شده‌اند، قرار می‌گیرند. فقط ۱۲ درصد از چهاروجهی‌های Te به‌وسیله‌ی Ga اشغال می‌شوند.

(۱) Distorted tetrahedral

(۲) Strong off-centering



شکل ۲- مقاطعی از نقشه تفاضلی فوریه (Difference Fourier plot) برای  $\Delta\rho$  (x,  $+0.730$ , z) برای  $\text{Li}(\text{A})$  (الف) و  $\Delta\rho$  (x,  $+0.79$ , z) برای  $\text{Li}(\text{B})$  (ب) (فاصله قدم‌های خطوط ارتفاعی  $1\text{e} / 10^3 \text{ pm}^3$ ). مرکز مکان شکافت (A) و مکان (B) توسط + علامت گذاری شده‌اند.

متاپریسم به متاپریسم بعدی به‌وسیله‌ی حفره چهاروجهی‌های توخالی  $\text{Te}_4^-$  که با هر دو آنها وجه مشترک دارد، امکان‌پذیر است. رنگ سیاه هر دو فاز  $\text{M}_2\text{GaTe}_1$  و هدایت سنجی انجام شده حاکی از این است که رسانایی الکترونیکی این دو فاز بسیار بیشتر از رسانایی یونی آنها است.

در این تحقیق برای مقایسه  $\text{NaAgGaTe}_1$  (ایزوتوپیک با  $\text{Na}_2\text{GaTe}_1$ ) /  $\text{Li}_2\text{GaTe}_1$  با  $\text{Ag}^+$  به‌وسیله‌ی  $\text{Li}^+/\text{Na}^+$  در طی آزمایش‌های انجام شده با پرتو X روی تک بلورها و در دماهای متفاوت، تحرک قابل ملاحظه‌ای برای یون‌های  $\text{Ag}^+$  مشاهده شد.

## تشکر و قدردانی

نویسنده‌ی مقاله از آقای دکتر حمید رضا آقابزرگ و Prof. H. J. Deiseroth, Prof. H. Günther, Dr. L. Kienle, Dr. M. Hartung برای کار ارزشمند آنها در خصوص ترکیب‌های نامبرده شده در این مقاله تشکر می‌کند.

شکل ۱- بخش‌های شاخصی از ساختار بلور  $\text{Li}_2\text{Ga}_7\text{Te}_{10}$ . متاپریسم‌ها (ساختمانی دار شده) در اطراف (الف)  $\text{Li}(\text{A})$  و (ب)  $\text{Li}(\text{B})$  در  $\text{GaTe}_4$  نشان داده می‌شوند. تشکیل رأس مشترک با متاپریسم‌ها و رأس و ضلع مشترک با یکدیگر می‌دهند.

اگر  $\text{Li}(\text{A})$  در مرکز حفره قرار می‌داشت، شش  $\text{Ga}^{3+}$  در فاصله  $450 \text{ pm}$  آن قرار می‌گرفتند و  $\text{Li}(\text{B})$  دو همسایه نزدیک در  $354 \text{ pm}$  دو تا در  $385 \text{ pm}$  و دو تا در  $471 \text{ pm}$  می‌داشت. پس  $\text{Li}(\text{A})$  در دور شدن از مکان مرکزی آزادی بیشتر دارد، که در عمل هم با ترتیبهای آزمایش‌های شده مطابقت دارد ( $\text{Li}(\text{B}): 29 \text{ pm}$ ):  $121 \text{ pm}$  دوری از مکان مرکزی).

تا به حال هیچ نشانی از اینکه ترکیب‌های مشابه با فلزهای قلیایی سنگین‌تر  $\text{Rb}$ ،  $\text{K}$  و  $\text{Cs}$  از نظر ترمودینامیکی به عنوان مواد جامد پایدار وجود دارند، وجود ندارد.

نکته مهم این است که آیا یون‌های لیتیم با توجه به جاگیری نامناسب  $\text{Li}/\text{Na}$  در حفره‌ای متاپریسم، در دماهای بالاتر، تحرک قابل توجهی از خود نشان می‌دهند؟

اگر چه متاپریسم‌های  $\text{MTe}_4$  در  $\text{M}_2\text{GaTe}_1$  به‌طور انحصار به‌وسیله‌ی رأس مشترک با یکدیگر مرتبط هستند ولی سطوح خود را فقط با چهاروجهی‌های توخالی  $\text{Te}_4^-$  مجاور خود به اشتراک می‌گذارند. بدین ترتیب مهاجرت یون‌های  $\text{M}^+$  از یک حفره

جدول ۱ - داده های پرتو X و بلورشناسی برای  $\text{Li}_7\text{Ga}_5\text{Te}_{10}$  در دمای K ۱۸۰ \*

Formula	$\text{Li}_2\text{Ga}_6\text{Te}_{10}$
formula weight (g mol <sup>-1</sup> )	1711.28
crystal system	trigonal
single crystal diffractometer	CAD4, ENRAF-NONIUS
Radiation	MoK $\alpha$
lattice constants (pm) (hex.)	a=1436.9(2) c=1759.0(4)
(rhomb.)	a = 1017.7 $\alpha$ = 90.09°
volume (10 <sup>6</sup> pm <sup>3</sup> ) (hex.)	3145(1)
Z (hex.)	6
space group	R 32 (No. 155)
d <sub>X-Ray</sub> (gcm <sup>-3</sup> )	5.411
F(000)	4241
$\mu$ (mm <sup>-1</sup> )	16.19
temperature (K)	180
crystal size (mm <sup>3</sup> )	0.05 × 0.05 × 0.07
scan-type	w-2θ
data range	-17 ≤ h ≤ 0, 0 ≤ k ≤ 17, 0 ≤ l ≤ 24
2θ maximum	60
number of refl. (all/independent)	2201/2039
observed reflections (1 > 2.5 σ (I))	2019
R <sub>int.</sub>	0.032
refined parameters	66
corrections	Lorentz, polarization, absorption, extinction
absorption correction	empirical, y-scan
refinement program	NRCVAX [14]
min./max. transmission ratio	0.0344/0.0692
min./max. resid. electr. dens. [e/10 <sup>6</sup> pm <sup>3</sup> ]	-2.090/1.870
extinction coefficient	0.037(5)
GooF	4.6
R <sub>f</sub> (I>2.5s (I))	0.026
R <sub>w</sub> (all refl.)	0.041

\* Details of crystal structure investigation at T = 390 K are available on request from the Fachinformationszentrum Karlsruhe, D- 76344 Eggenstein-Leopoldshafen on quoting the depository number CSD-402881 ( $\text{Li}_2\text{Ga}_6\text{Te}_{10}$ ) and CSD – 402329 ( $\text{Na}_2\text{Ga}_6\text{Te}_6$ ), the names of the authors, and the journal citation.

$$R_f = \frac{\sum |F_o| - |F_c|}{\sum |F_o|}$$

n = No. of refl.,

$$R_w = \sqrt{\frac{\sum (w(F_o - F_c)^2)}{\sum (wF_o^2)}}$$

p = No. of params.

$$\text{GooF} = \sqrt{\frac{\sum (w(F_o - F_c)^2)}{n - p}}$$

w = I

جدول ۲ - مختصات نهایی اتم‌ها (R<sub>32</sub>, hexagonal setting) و پارامترهای جابه‌جایی حرارتی همسو برای Li<sub>7</sub>Te<sub>7</sub>T<sub>10</sub> در دمای K برابر  $B_{\text{iso}} [\text{pm}^2 \times 10^{-7}]$  (Isotropical)

Atom	Position	x	y	z	G	B(iso)
Li(A)*	6c	1/3	2/3	0.098(3)	0.8(2)	1.0(1)
Li(B)**	9d	0.729(4)	x	-	0.6(2)	2.4(2)
Ga(3)	18f	0.5841(1)	0.9981(1)	0.24772(7)	0.994(8)	1.16(8)
Ga(2)	18f	0.8889(1)	1/3 0.791(1)	0.23797(7)	1.000(8)	1.20(8)
Te(1)	18f	0.70105(6)	0.90198(6)	0.23177(4)	1.000	1.04(3)
Te(2)	18f	0.38884(7)	0.85970(7)	0.28680(5)	1.000(6)	1.33(4)
Te(3)	9e	0.91863(8)	x + 1/3	1.6	1.002(7)	1.35(4)
Te(4)	9d	0.16653(8)	x	-	1.000(8)	1.33(4)
Te(5)	6c	-	-	0.17084(7)	0.0114(9)	1.04(3)

\*) Split position!, center position of metaprism : (3b) 1/3, 2/3, 1, 16667

\*\*) Center position of metaprism (9d) -0.75-, 0.75-, -.

جدول ۳ - پارامترهای جابه‌جایی حرارتی غیر همسو (Anisotropic) برای Li<sub>7</sub>Te<sub>7</sub>T<sub>10</sub> در دمای K ۱۸۰ و مقدار انحراف از معیار در پرانتر.

Atom	U <sub>11</sub>	U <sub>22</sub>	U <sub>33</sub>	U <sub>12</sub>	U <sub>13</sub>	U <sub>23</sub>
Li(A)	1.9(1)					
Li(B)	3.0(2)					
Ga(1)	1.47(7)	1.53(7)	1.44(6)	0.77(5)	0.070(5)	-0.104(5)
Ga(2)	1.44(7)	1.38(7)	1.59(6)	0.67(5)	0.070(5)	-0.101(5)
Te(1)	1.24(4)	1.27(4)	1.42(4)	0.53(3)	-0.010(3)	0.120(3)
Te(2)	1.30(4)	1.80(4)	1.75(4)	0.62(3)	-0.100(3)	0.170(3)
Te(3)	1.43(5)	U <sub>11</sub>	2.15(6)	0.53(5)	-0.188(2)	-U <sub>13</sub>
Te(4)	1.52(5)	U <sub>11</sub>	1.65(5)	0.47(5)	0.092(2)	-U <sub>13</sub>
Te(5)	1.23(4)	U <sub>11</sub>	1.49(6)	0.52	0.0000	0.0000

\*)  $U_{ij}$  are defined as  $U_{ij} = -\pi^r \cdot (h^r \cdot a^{*r} \cdot U_{11} + \dots + r.h.k \cdot a^* \cdot b^* \cdot U_{1r} + \dots)$

جدول ۴ - طول پیوندها (pm) و زاویه‌های پیوندی (درجه) برای Li<sub>x</sub>Ga<sub>y</sub>Te<sub>1-x-y</sub> در دمای ۱۸۰K و مقدار انحراف از معیار در پرانتز.

Ga <sub>1</sub> – Te <sub>1</sub>	۲۶۷,۶(۲)	Li(A) – Ga <sup>Y*</sup>	۴۱۴(۶) ۳ ×
Te <sub>1</sub>	۲۶۴,۸(۹)	Ga <sub>1</sub>	۴۲۲(۵) ۳ ×
Te <sub>۲</sub>	۲۶۰,۱(۲)		
Te <sub>۴</sub>	۲۵۸,۶(۴)		
Ga <sup>Y</sup> – Te <sub>1</sub>	۲۶۳,۴(۲)	Li(B)-Ga <sub>1</sub>	۳۶۰(۲) ۲ ×
Te <sub>۲</sub>	۲۶۱,۹(۹)	Ga <sup>Y</sup>	۳۷۷(۲) ۲ ×
Te <sub>۳</sub>	۲۶۲,۳(۳)		
Te <sub>۵</sub>	۲۶۵,۸(۳)		
Li(A) – Te <sup>Y*</sup>	۲۶۲(۲) ۳ ×	MP(A) – Te <sup>Y**</sup>	۳۲۴ ۶ ×
Te <sub>۲</sub>	۴۱۴(۶) ۳ ×		
Li(B)-Te <sup>Y</sup>	۳۰۲(۵) ۲ ×	MP(B)-Te <sup>Y**</sup>	۳۱۲ ۲ ×
Te <sub>۳</sub>	۳۱۱(۱) ۲ ×	Te <sub>۳</sub>	۳۱۴ ۲ ×
Te <sub>۴</sub>	۳۲۸(۶) ۲ ×	Te <sub>۴</sub>	۳۲۴ ۲ ×
Te <sub>۱</sub> -Ga <sub>۱</sub> -Te <sub>۱</sub>	۹۷,۹(۱)	Te <sub>۱</sub> -Ga <sup>Y</sup> -Te <sub>۲</sub>	۱۱۰,۴(۱)
Te <sub>۱</sub> -Ga <sub>۱</sub> -Te <sub>۲</sub>	۱۱۰,۲(۱)	Te <sub>۱</sub> -Ga <sup>Y</sup> -Te <sub>۳</sub>	۱۲۰,۰(۱)
Te <sub>۱</sub> -Ga <sub>۱</sub> -Te <sub>۴</sub>	۱۱۵,۷(۱)	Te <sub>۱</sub> -Ga <sup>Y</sup> -Te <sub>۲</sub>	۹۶,۵(۱)
Te <sub>۱</sub> -Ga <sub>۱</sub> -Te <sub>۵</sub>	۱۰۴,۰(۱)	Te <sub>۱</sub> -Ga <sup>Y</sup> -Te <sub>۳</sub>	۱۰۵,۹(۱)
Te <sub>۱</sub> -Ga <sub>۱</sub> -Te <sub>۴</sub>	۱۱۴,۹(۲)	Te <sub>۱</sub> -Ga <sup>Y</sup> -Te <sub>۵</sub>	۱۱۳,۷(۱)
Te <sub>۱</sub> -Ga <sub>۱</sub> -Te <sub>۵</sub>	۱۱۲,۶(۱)	Te <sub>۱</sub> -Ga <sup>Y</sup> -Te <sub>۵</sub>	۱۱۰,۴(۱)

\*) Split position for Li (A)  
 \*\*) Center position for Li(A) /Li(B) (MP:metaprism)

تاریخ دریافت: ۸۲/۳/۲۷ | تاریخ پذیرش: ۸۲/۷/۱۴

## مراجع

- [1] Deiseroth, H.J. and Müller, H.D., *Z. Anorg. Allg. Chem.*, **622**, 405 (1996).
- [2] Deiseroth, H.J., Kienle, L., Gunther, H. and Hartung, M., *Z. Anorg. Allg. Chem.*, **626**, 302 (2000).
- [3] Shoemaker, C.B. and Shoemaker, D.P., *Monatsh. Chem.*, **102**, 1643 (1971).
- [4] O'Keefe, M. and Andersson, S., *Acta Cryst.*, **A 33**, 914 (1977).
- [5] Shoemaker, C.B. and Shoemaker, D.P., *Acta Cryst.*, **42, B**, 3 (1986).
- [6] Jeitschko, W., Nowotny, H. and Benesovsky, F., *Monatsh. Chem.*, **95**, 1212 (1964).
- [7] Geller, S., *Science*, p. 310 (1967).
- [8] Geller, S., *Phys. Rev.*, **B 14**, 4345 (1976).
- [9] Adams, S., Kuhs, W.F. and Wilmer, D., *7<sup>th</sup> Jahrestagung der Deutschen Gesellschaft für Kristallographie (DGK)*, Leipzig, p. 87 (1999).
- [10] O'Keeffe, M., *Acta Cryst.*, **A 33**, 924 (1977).
- [11] Deiseroth, H.J. and Müller, H.D., *Z. Kristallogr.*, **210**, 57 (1995).
- [12] Panzer, B., Range, K.J. and Zabel, M., *J. Less-Comm. Met.*, **106**, 305 (1985).
- [13] Shannon, R.D. *Acta Cryst.*, **A 32**, 751 (1976).
- [14] Gabe, E. J., Le Page, Y., Chaland, J. P., Lee, F. L. and White, P. S., The NRCVAX crystal structure system, Chemistry Division, NRC, Ottawa, Canada (1990).
- [15] International tables for crystallography, *Dordrecht, Holland* ; Boston Published for the International Union of Crystallography by D. Reidel Pub. Co., Norwell, MA, U.S.A. , Sold and distributed in the U.S.A. and Canada by Kluwer Academic Publishers (1987-1992).